

四

由于我们译编了本书，供电、真空技术物理三局组织的真空设计真空系统的参数，以及同行编辑因大家忙于他事，没有时间和人力，只好作罢。

本书主要译于 Le Vide 92期 Les Calculs de la technique de Vide (真空技术的计算) 现作者 (法) J. Delafosse 和 G. Margodin 作为附录补充。①第一届国际真空会议论文集一卷 P335—340 Zur Charakterisierung der Eigenschaften Von Ölfängen für Diffusionspumpen (扩散泵油性质之表征) 现作者 (德) G. Zinsmeister 提供了油扩散泵设计和选择最完整的资料。②日本真空 1962 年 7 月号“汽喷射水” $>7^{\circ}$  用油 1C-14T (该型汽喷射泵用油) 现作者 (日) 伊藤昭夫 可以查到各国生产油的各种数据。③ Werkstoffkunde der Hochvakuumtechnik (高等真空用材料教程) 卷 I 现作者 (德) W. Espe 金属含气量表。此气量一般也可以由扩散计算但是不如实验的数据准确。此组数据是 J. Delafosse 第五章的主要补充。(原来打样时附一些有用资料，但由于制版不及只好放弃)。

由于水平和时间的限制，加上真空术语死耗一概率，错误难免不各指正。

译者 木易

1962年度寒假



103287

动量守恒：	6
想气体的基本定律：	6
阿佛加得罗定律：	6
盖吕萨克定律：	6
道尔顿定律：	6
麦·吕萨克定律和理想气体公式：	6
牛运动论基础：	7
分子速度分布：	8
斯托克斯：波尔兹曼出版	8
最可几速度：	10
实际平均速度：	11
平均相速度：	11
碰撞系数：	12
牛运动论的压强概念，压强的计算：	12
自由行程：	13
于与凹壁的碰撞，克努森假说，气体动力学：	15
流的一般特性：	16
圆周的类比：	16
压强与电位的类比：	16
气体流量的各种定义：	16
气体流量与电流强度的类比：	18
面的概念：	18
孔隙的概念：	18
直的定义：	19
碰撞直径的轴速：	20
导率和荷系数的表	21
在情况下湍流流动的研究：	24
小孔的流动：	24
高压强下的流动（粘滞性流动）：	24
总：	26

3.2.2 粘滞流过圆柱形截面	30	33.9
3.3 通过管的流动	31	130
3.3.1 管中流动的一般研究 (湍流、粘滞流、 过渡情况、分子流) -	31	31
3.3.2 粘滞流过圆截凸面的流动	32	32
3.3.3 分子流动任意均匀截凸面的流动	32	32
3.3.4 粘滞流、过渡情况：分子流过圆截凸面 的流动	32	32
3.3.4.1 克劳修公式	32	32
3.3.4.2 分子性流动	32	32
3.3.4.3 粘滞性流动	32	40
3.3.5 对 20°C 干气在粘滞流、过渡情况、分子流 时圆截凸面的流动的实用公式	32	40
3.3.6 关于粘滞流情况的附注和应用	41	41
3.3.6.1 短管	41	41
3.3.6.2 干气以外其它气体的情况	41	42
3.3.6.3 作为均压通梯度函数的表达式	42	42
3.3.6.4 在矩形管内的粘滞流	42	42
3.3.6.5 例子，列维兹	42	43
3.3.7 关于分子流动情况的附注	45	45
3.3.7.1 短管——与管外尺寸比被直径不可忽 略的孔。克劳修公式	45	45
3.3.7.2 干气以外其它气体的情况	47	47
3.3.7.3 曲线和列维兹	48	48
3.3.7.4 均匀圆截凸面的直管	50	50
3.3.7.5 均匀矩形截凸面的直管	51	51
3.3.7.6 均匀三角形截凸面的直管	51	51
3.3.7.7 任意均匀截凸面的直管	51	51
3.3.7.8 弯角	52	52
3.3.7.9 任意支管的流动	53	53
3.4 真空泵的抽速	53	53
3.5 片工抽速 (片流等效系数)	54	54
3.5.1 分子性流动	54	54
3.5.2 粘滞性流动	55	55

3.5.3 分子流特征计算的例子。-----	25
3.6 热潮流。-----	28
3.7 对空气以外的其它气体，在不同温度下 做穿表示公式的修正。-----	57
4. 没有云气情况下瞬变过程的研究：-----	60
4.1 通过无限大流导对烟囱之抽气：假定抽 速保持不变，极限压强 $P_0$ 可予忽略。-----	61
4.2 通过无限大流导对烟囱之抽气：假定抽 速保持不变，考虑极限压强 $P_0$ 。-----	62
4.3 通过无限大流导对烟囱之抽气：假定抽 速並非常数，极限压强 $P_0$ 可予忽略。-----	63
4.4 通过无限大流导对烟囱之抽气：假定抽 速並非常数，考虑极限压强 $P_0$ 。-----	63
4.5 通过恒定段导对烟囱之抽气，假定抽速 不變，极限压强 $P_0$ 可予忽略。-----	67
4.6 通过恒定段导对烟囱之抽气，假定抽速 不變，考虑极限压强 $P_0$ 。-----	70
4.7. 4.8 通过恒定段导对烟囱之抽气，假定 抽速並非常数，考虑极限压强 $P_0$ 。-----	70
5. 抽气的研究：-----	15
5.1 抽气的宏观定律：-----	25
5.2 实验研究：-----	26
5.3 云气的影响，对稳定状态和瞬变状态真 立系数的影响。-----	28
5.3.1 局部云气。-----	28
5.3.2 分佈云气。-----	36
5.4 云气曲线。-----	52
6. 采样连接——采样头选择：-----	96
6.1 特性曲线之说明：-----	96
6.1.1 予抽采。-----	96
6.1.2 要求采。-----	96
6.1.3 扩散采。-----	98

6.1.4 整汽喷射增压泵	101
6.2 真空之间的配合	104
6.3 抽气的经典问题	109
6.3.1 中真空区之抽气	109
6.3.2 分子性真空的获得：探用中同罗茨泵 的通过	111
6.3.3 通过与罗茨泵连接的阱抽气到分子性 真空	115
7. 各种公式、图表、曲线	118
附录	
1. 抽取泵捕堵阱（挡板）性能之表达	132
2. 论整汽喷射泵用油	142
3. 金属气压表，在高真空及真气中最重要 极敏感于去气温度和时间；对入 $\sim 5500 \sim 6650A$ 某些材料的光辐射吸收 $A\%$	156

法国 J. Deletosse, G. Morozoff  
Les Calculs de la technique du Vide

## 第一章 气体运动学要义

我们只扼要地阐述了真空技术计算必须的气体运动学的几个要素，并未详尽提供下面用一切公式证明的气体运动学的经典问题。

### 1.1 理想气体的基本定律：

从宏观的观点看，理想气体的几乎一切性质——尤其对于温度不太低、压强不太高的永久气体或通常液化气体的蒸气，实验证明是令人满意的。

#### 1.1.1 阿佛加得罗定律。

$$M = 29d \quad 0^\circ\text{C}, 760\text{ t} \quad (1.1)$$

它是克分子量单位的现称名称。M是克分子量，d是与空气比较的密度。

这定律以另一种方式表示。

相同体积的不同气体，在相同的温度和压强条件下包含相同的分子数。在标准温度和压强的条件下（ $0^\circ\text{C}$ ,  $760\text{ t}$ ）一克分子任意气体占据22.4升。

#### 1.1.2 马略特定律：

在恒温（绝热变化）下给定质量的气体之压强P和体积V之乘积为常数。

$$PV = C^{\text{te}} \quad (1.2)$$

#### 1.1.3 盖·吕萨克定律和理想气体公式：

给定质量的气体在恒体积变化过程压强遵循  $P_2 = P_1 \frac{T_2}{T_1}$  定律变化。

最终状态用脚注2，起始状态用脚注1。 $T_2$  和  $T_1$  用绝对温度（ $^{\circ}\text{K}$ ）。

同样，恒压变化遵循  $V_2 = V_1 \frac{T_2}{T_1}$  定律。

我们假设：一种质量的气体由状态1( $P_1, V_1, T_1$ )通过状态2( $P_2, V_2 = V_1, T_2$ )到状态3( $P_3 = P_2, V_3, T_3$ )，则我们

可以写出:  $P_2 = P_1 \cdot \frac{T_2}{T_1}$

以及:  $V_3 = V_2 \cdot \frac{T_3}{T_2}$

二式左右各自相乘:  $P_2 V_3 = P_1 V_2 \cdot \frac{T_2}{T_1} \cdot \frac{T_3}{T_2}$

且  $P_2 = P_3$ ,  $V_2 = V_3$ ,

因此有:  $P_3 V_3 = \frac{P_1 V_1}{T_1} \cdot T_3$

我们取状态1为常数状态(对1克分子)

$$P_1 = 760 \text{ 帕} = 1.013 \cdot 10^6 \text{ 巴}$$

$$V_1 = 22.4 \text{ 升} = 22400 \text{ 毫米}^3$$

$$T_1 = 273^\circ\text{K} \text{ 或 } 0^\circ\text{C}$$

对于任意状态(1克分子)有关公式:  $PV = RT$

其中R是理想气压常数(普适常数)。

$$R = \frac{P_1 V_1}{T_1} = \frac{1.013 \cdot 10^6 \times 22400}{273} = 8.31 \cdot 10^7 \text{ 焦/度}$$

更一般地, 对于n克分子气体有:

$$PV = nRT \quad \text{C.G.S 单位} \quad \dots \dots \dots \quad (1.3)$$

$$P(\text{巴}), V(\text{厘米}^3), T(^{\circ}\text{K}), \text{则 } R = 8.31 \cdot 10^7 \text{ 焦/度}$$

如果把P称为阿佛加德罗常数, N为真正的分子数, 则有:

$$PV = N \cdot P \cdot \frac{R}{N} \cdot T \quad (N = 6.02 \cdot 10^{23})$$

$$PV = NRT \quad \dots \dots \dots \quad (1.4)$$

## 1.2 气体运动论基础

我们可以直接根据气体的分子对应的行为来研究气体的性质,

这样, 把气体改称为由大量分子组成, 不管它们到底以什么速度运动的集合(真正的分子)组成的。

分子的轨迹是由一些直线构成的, 在一定碰撞时间间隔分子遵循均匀直线运动定律运动, 但碰撞或是在分子之间发生, 或者在分子和壁之间发生。

分子比起它们之间的距离要小, 同时在比较小的空间内包含着大量的分子。

可以认为：在分子动能和热之间建立平衡。

### 1.3 分子的速度分布：

#### 1.3.1 马克士威·波尔兹曼曲线。

在一给定状态下，一切分子的速度、方向均不相同。此外，每次碰撞，碰撞分子既改变速度也改变方向。

更严格讲：应该认为：在给定的体积内气体分布并非均匀的，而且在空间的每一线上粒子速度并非各向同性的（也就是说有偏斜方向）。在这些条件下，速度分布的分析是不可实现的。一些气体通过一小孔的一端口内膨胀，而出口本身并非处于均匀温度之下，便是这种情形。

我们只研究处于热平衡下包含在具有均匀温度的出口内纯气体的最重要的特殊状况。

在此种情况下有理由认为粒子的分布是均匀的（也就是说：单位体积内的粒子数在整個出口内是相同的且不随时间改变）。

我们也假定分子速度方向在一切方向是均匀分布的。

我们仍认为速度分布是稳定的，即在任何瞬时在每一个微元内任意给定速度的粒子数是相同的。瞬时改变的一些分子由于碰撞一部分速度改变，但是有另一些分子恰好取这些速度，总的速度分布並不改变。

我们嘗试给出下述形式的速度分布。

在给定瞬时，假設能够计称速度包含在 0 和 100 米/秒，100 ~ 200 米/秒，200 ~ 300 米/秒 等之三间的分子数。令  $n_1, n_2, n_3$  等是求出的粒子数，令  $\Delta V$  是速度的速率间隔即： $\Delta V = 100 \text{ m/s}$ 。

我們來描下述曲线：横座标为速度，纵座标为比值  $\frac{n_i}{\Delta V}$ 。于是我們便获得此梯形曲线 A (图 1.1)。例如速度数值在 600 ~ 700 米/秒之間的分子數量誠正比于階級部分  $\frac{\Delta n}{\Delta V} \cdot \Delta V$ 。

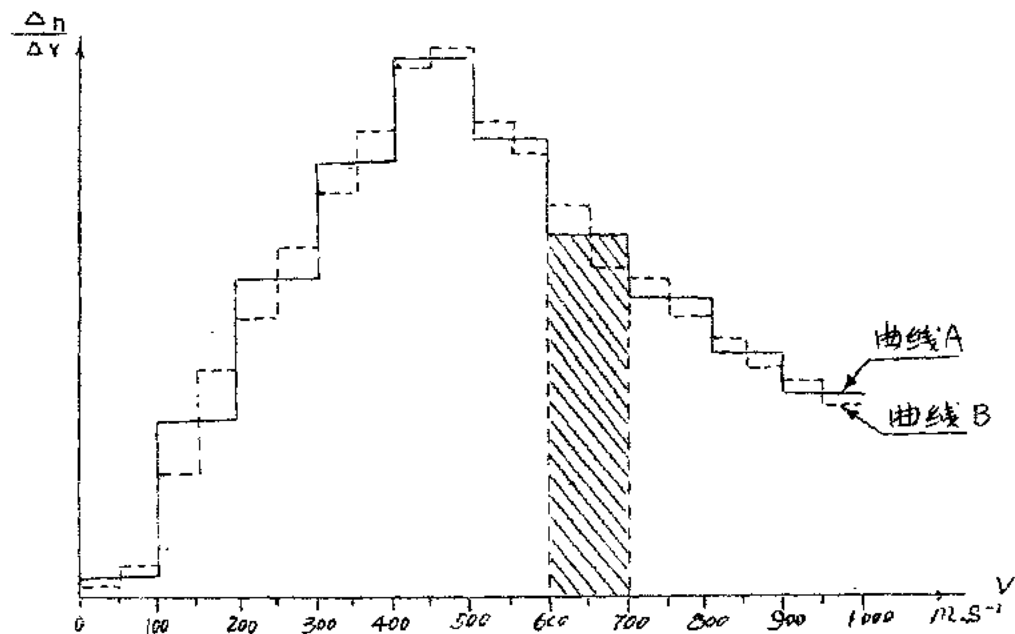
如果我們希望有更精确的表示，可以重新进行同样的計算，但间隔  $\Delta V$  取得更小，令  $\Delta V = 50 \text{ m/s}$ 。

这样所获得的曲线 B。间隔取得越小，速度分布曲线越精细，在极限的情况下此梯形曲线变为连续曲线，纵座标实际上表示等效  $\frac{dn}{dv}$ 。

马克士威，之后有波尔兹曼给出了此分布曲线的方程式。根据人们偏重速度或速度分布此公式略有差异。

令  $dn$  为速度分量在  $v_x, v_y, v_z$  和  $v_x + dv_x, v_y + dv_y,$

$v_x + dV_x$  之间的单位体积内的分子数。



### 1.1 速度分布

$$dn = n f(v_x, v_y, v_z) \cdot dv_x \cdot dv_y \cdot dv_z$$

其中  $n$  是单位体积内分子总数， $f(v_x, v_y, v_z)$  是分布律，于是可以证明：

$$dn = \frac{n}{2} \sqrt{\frac{m^3}{2\pi^3 k^3 T^3}} \cdot e^{-\frac{mv_x^2 + v_y^2 + v_z^2}{2kT}} \cdot dv_x \cdot dv_y \cdot dv_z$$

(1.5)

如果对上式  $v_y$   $v_z$  从  $-\infty$  积分到  $+\infty$ ，则我们便得到沿  $x$  轴速度包含在  $v_x$  和  $v_x + dv_x$  之间（其它二速度分量可以是任意的）单位体积内的分子数  $dn_x$ 。

$$\text{求出 } dn_x = n \sqrt{\frac{m}{2\pi kT}} \cdot e^{-\frac{mv_x^2}{2kT}} dv_x \quad (1.6)$$

最后，如果对分子立绝对速度感兴趣而对其方向不感兴趣，则发现：速度包含在  $v$  和  $v + dv$  之间的粒子数是：

$$dn_V = n \cdot 2 \sqrt{\frac{m^3}{2\pi R^3 T^3}} e^{-\frac{mv^2}{2RT}} V^2 dV \quad (1.7)$$

为了给出此分布的概念，描绘具有  $f(x) = K \cdot x^2 \cdot e^{-x^2}$  形式  
的曲线  $(V)$  请看图。图 1.2 给出了函数  $x^2 e^{-x^2}$ 。

$$F(x) = x^2 e^{-x^2}$$

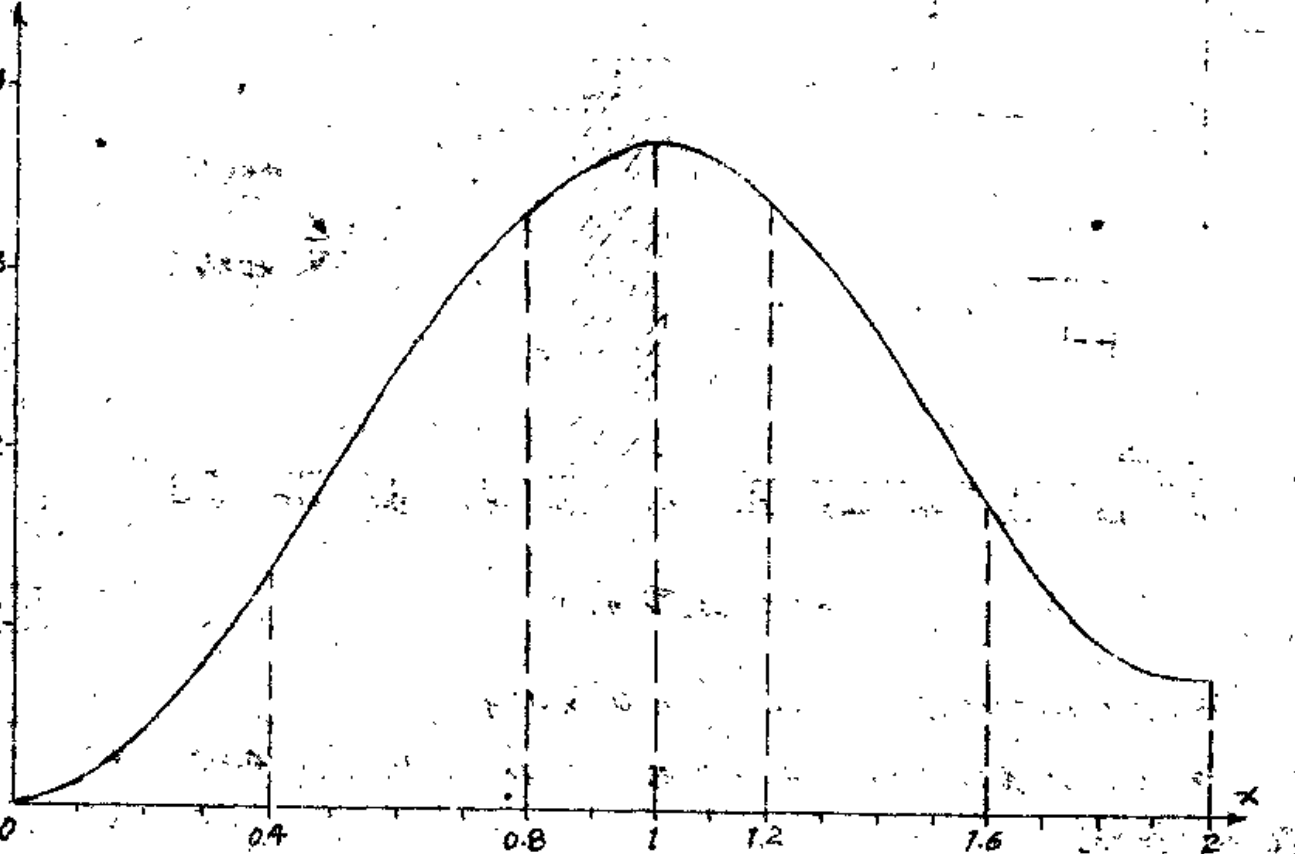


图 1.2 分布函数  $f(x) = x^2 e^{-x^2}$

我们看曲线的一般形式。所有的曲线均向 0 无限趋近且最大值在靠近于 x 轴（速度轴）。最大值的位置和大小与温度有关。温度越高最大值越向左侧移动，分子的热运动越强。曲线和 x 轴包围的面积正比于分子总数，此面积是常数。(1.3)

### 1.3.2 最可几速度：

若取任意一个分子，它可能具有 0 以外任意的速度。然而在给定的温度在分布曲线最大值处所含的分子数比其它任何速度在同一速度间隔内所含的分子数多得多。因此最可几速度对应于分布的最大值的速度，因此对  $\frac{df(V)}{dV} = 0$

求出：

$$\text{最可几速度 } V_p = \sqrt{\frac{2RT}{m}}$$

C.G.S 单位 (1.8)

(应当指出：相速时动能是  $E_p = \frac{1}{2}mv_p^2 = kT$ )

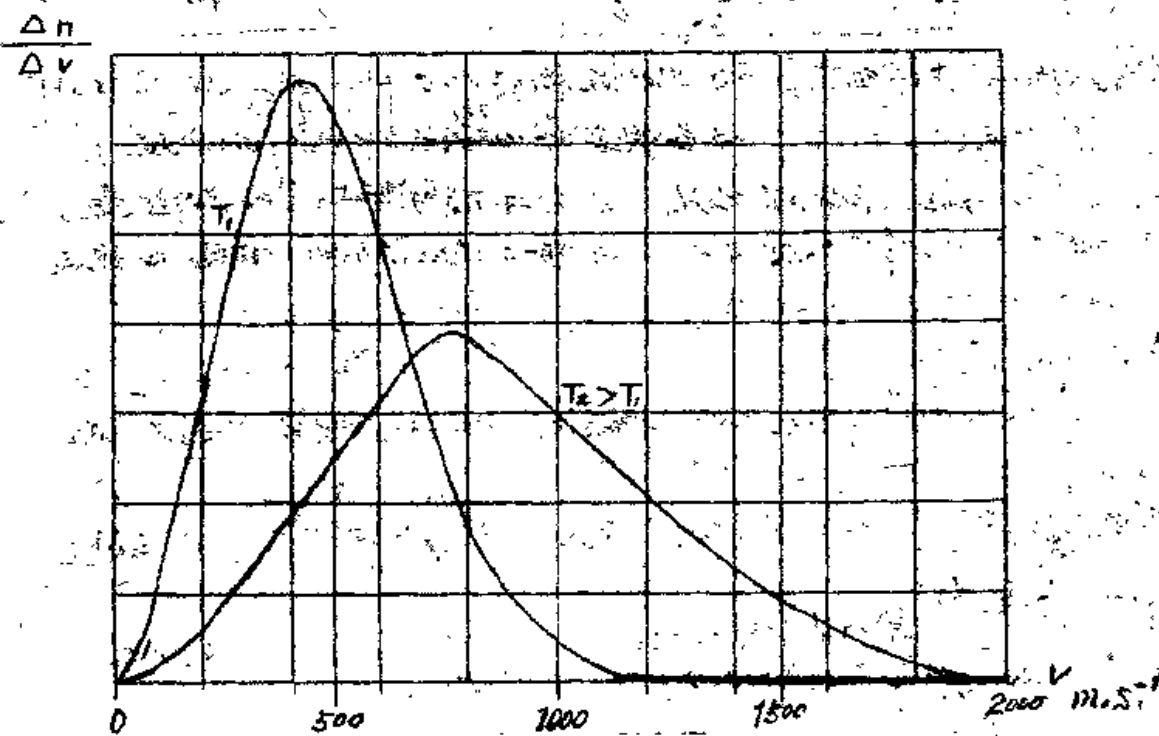


图 1.3 温度对速度分布的影响

### 1.3.3 样本平均速度：

此速度是把所有粒子的速度加在一起之后同粒子数除之得到的。

很容易设想此速度与最可几速度不同，因为很容易看出，在曲线上高于  $v_p$  速度的分子数比低于  $v_p$  速度的分子数多。

实际上此速度相当于： $v_m = \frac{1}{n} \int v dn = \frac{1}{n} \int v \frac{dn}{dv} dv$

求得：	样本平均速度 $v_m = \sqrt{\frac{8kT}{\pi m}}$	C.G.S 单位
-----	---	----------

(1.3)

### 1.3.4 均方根速度：

此还可以称为有效速度。此速度是把所有速度的平方加在一起除以粒子数，之后把速度开方获得的。

实际上此速度相当于平均动能  $\frac{1}{2}mv^2$ 。

$$E_m = \frac{1}{n} \int \frac{1}{2}mv^2 dn$$

求得  $E_m = \frac{3}{2}kT$

以及：

$$\text{平均根速度} = \bar{v}_g = \sqrt{\frac{3kT}{m}} \quad \text{C.G.S 单位 (1.10)}$$

若认为分子具有完全相同的速度可以证明上述速率表达式的公式。可以问：为什么解释必须选择这样选择的速度？

事实上，最通常的情况是：当分子简单地被反向的速度，则必须改变平均速度，然而分子涉及它的动能，即速度的平方，因此必须改变平均速度。

### 1.5 分子碰撞数：

我们来改正具有单位面积的壁的一部分。首先，这个面积等于一平方米。

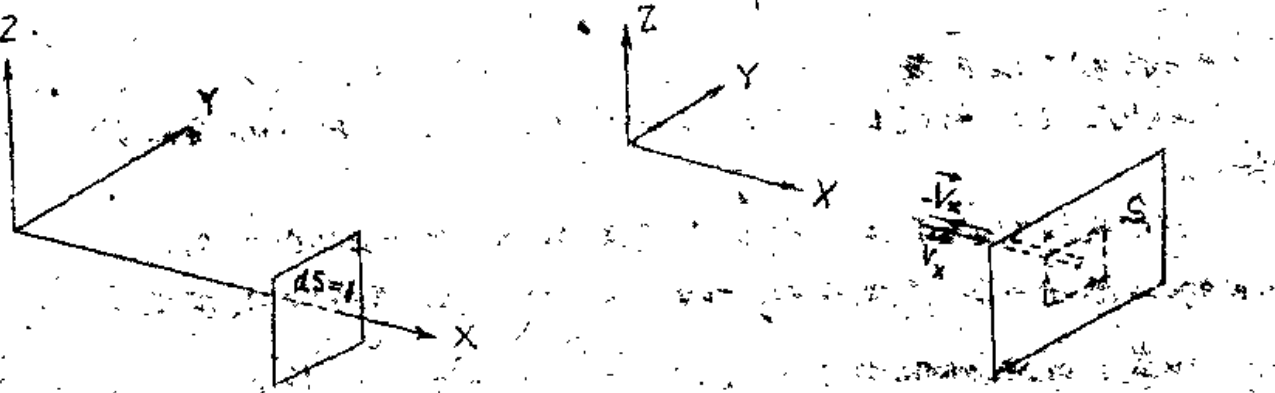
很容易看到：单位时间内打到一平方米上的分子数服从为：

$$L = \int_{-\infty}^{\infty} v_x dN_x$$

用表示式 (1.6) 或者  $dN_x$ ，我们求得：

$$L = \frac{n_1}{4} \sqrt{\frac{8kT}{\pi m}} \quad L = \frac{1}{4} N_p v_p \quad \text{C.G.S 单位 (1.11)}$$

2.



### 1.4 分子在部分壁上的

碰撞

### 1.5 在壁上速度改变的

分子速度的变化

在空间的任意位置，在给定方向通过单位面积的分子数由上述同一公式给出。

同样，在分子流的方向通过壁的通过单位面积的分子数由上述同一公式给出。（在湍流流动的情况下，壁的运动破坏了建立这些公式必须的各向同性和时间均匀性）。

### 1.6 气体运动论的压强概念，压强计算法。

气体的压强是由分子在壁上碰撞引起的。观察和实验的结果

效果是大量粒子（即非连续的作用）碰撞的结果。

把粒子视为大小可忽略的弹性体，壁也假设为完全弹性。

该的故思一垂直碰撞质量均等的分子。因为碰撞是弹性的，所以速度的变化为  $U_x - (-U_x) = 2U_x$ 。在时间  $\Delta t$  内产生一平均力  $F = m \frac{\Delta U_x}{\Delta t} = \frac{2mU_x}{\Delta t}$ ，且在面积  $S$  上产生压强元。

$$P = \frac{F}{S} = \frac{2mU_x}{S \cdot \Delta t}$$

这样，又把  $\Delta t$  时间内碰撞的所有分子引起的压强元加在一起便得了。

实际上计算是费精的，因为必须：

——只考虑直射到壁上的一切分子。

——故必不具有相同速度的一切分子。

这样，正确的  $P = \frac{1}{3} S U_g^2$  (1.13)

$S$  是以克/厘米<sup>2</sup>表示的比压强， $U_g$ 是以厘米/秒表示的均速。

但在上述公式中对速度分布没有作任何假定。故考虑玻尔兹曼、泊松或麦克斯韦，只要以此特定分布中的速度代替  $U_g$  便行了。

$P = N \cdot k \cdot T$  C.G.S. 单位 (1.14)

尤其在给定  $P, T$  下此公式可以用来求单位体积的分子数  $N$ 。

我们通过来至理想气体定律。实际上故程压强  $P$  与体积  $V$  有  $PV = N \cdot k \cdot T$

但因为  $N$  是单位体积的分子数，而以  $N, V$  是在体积  $V$  内真正的分子数，故此：  $PV = N \cdot k \cdot T$  立便是公式 (1.4)。

2. 平均自由程：

一个分子在二相碰撞而过的距离是极不同的。Clausius 计算丁老的平均值，此值他称之为〈平均自由程〉。为此立公

式： $\lambda = \frac{1}{12\pi n_0 \sigma^2} = \frac{kT}{\sqrt{2\pi P} \sigma^2}$  C.G.S 单位 (1.15)

是玻尔兹曼常数， $T$  是绝对温度， $P$  是以巴表示的压强， $\sigma$  用厘米表示的分子直径， $n_0$  是单位体积内真正的分子数。

我假设分子是弹性球。

对于空气来说，实际上应用公式：

$$\text{分子量} = \frac{5 \cdot 10^{-3}}{P}$$

以用厘米表示， $P$ 用于毫米。

对某些分子的自由程常数 1.6。

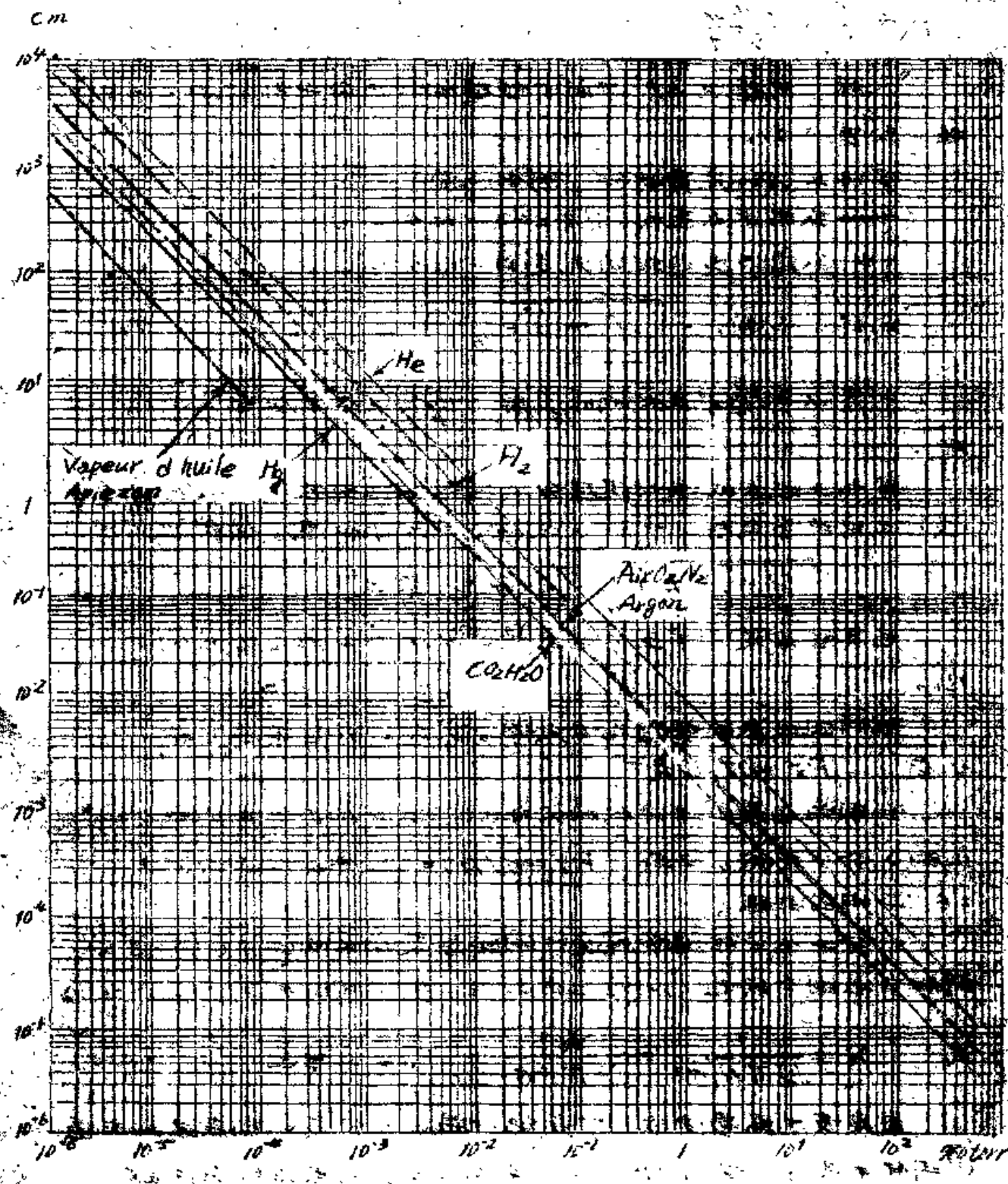


图 1.6 20℃ 作用压强下的自由程

1.8 分子与壁的碰撞。充气壁假设。气体动力学。

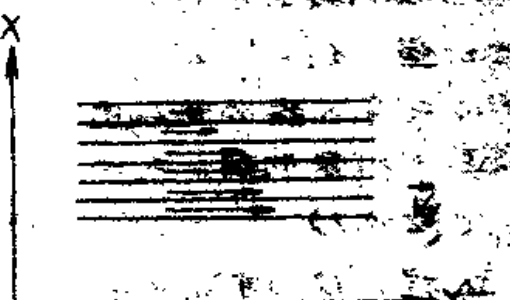
对称压强作用下的分子壁碰撞的假设在计算应用中可以认为是令人满意的，尤其当我们感兴趣的时壁效高壁体运动的气体时。在非对称情况下则不然；壁效可能不满足此假设之故，不遵从分布律。当我们着手研究流动时，壁效是至关重要的，尤其是在极低压强下的流动（分子流）。即在分子与固体表面接触而对壁之碰撞起主要作用的情况下，如果碰撞是完全弹性的话，碰撞的平均分离等于流动速度的分子系数或速度系数，则此不为壁面固有，这与实验相反。充气壁证明了在实际上好象壁吸附了一些分子，随后又重新放出，因而与入射速度方向无关。充气壁假设，碰撞是分子散乱地碰撞的结果，与分子的完全漫射一样，此假想的碰撞效率显示为碰撞定律与西元法拉第向量方向的方向，自面无发散的分子数正比于  $205\%$ 。此概念为其结果而证据，是另一种由实验说明的分子流动方式。虽再困难碰撞的假设相违背，对所有壁面流动的规律，充气壁假设并不导致前述统计导得的计数和无效，而得到可比较的一致结果。

对极高压强下的流动（湍流），分子与壁的碰撞比起分子间的碰撞来，少得多。显示出来的困难丧失了它的的重要性。反之，必须引入湍流性或内摩擦的概念。好象气流与湍流以

$$F = \mu \frac{dV_y}{dx} \cdot S \text{ 形成的阻力 (或推力) 引起一个壁面上的流动。 (式中: } V_y \text{ 是壁旁层的流动速度, } \frac{dV_y}{dx} \text{ 是壁旁层第一层壁上速度之梯度, } S \text{ 是壁面接触的面积, } \mu \text{ 为湍流系数。)}$$

在此种情况下我们认为：气体附壁上，而壁上的流动速度为零。

由此可导出于 23.32 和 23.33 适立湍流和分子流的流导公式。



23.33 湍流

## 第二章 真空系统的一般特性

本章进行的討論不论气体流动特性如何（层流，过渡状况或为乱流）都是正确的。

### 2.1 与电路的类比：

真空装置和电路之间可作极实用的类比。此种类比允许将已知现象的最直观的查证。此外某些电路的简单定律可以直接推到它们的对应，而不必再作证明，因为证明的形式是完全相同的。

#### 2.1.1 压强与电流的类比：

我们来讨论电动势、反电动势和电阻构成的电路，当通过平衡电流时，永远有下述二特性：

——电流或（运动电子的）电势既不会产生也不会消失。

——电位沿圆周连续地改变，每一处只有一丁点值。

我们定义一段圆周的电阻为此段圆周上单位时间内通过单位电势梯的电荷量。

$$R = \frac{V}{Q/t} = \frac{V}{I}$$

实验证明此电阻一般与电流无关（欧姆定律）。但并非永远如此，同样我们也可用通过电流改变的电阻的概念。从欧姆定律出发可获得无矛盾的定律皮泡那利兹规则。

现在来讨论泵、管和阀门组成的真空系统。假設器皿壁上有一小漏孔。外界空气进入器皿而通过管道又为泵抽到大气中去。（图 2.1）

这样，我们来定义一系统。在整个系统内压强连续地变化，在每一处上有唯一的数值，因此压强有固定相同的作用。

在作强度比较之前，必须选择气体流强的定义。

#### 2.1.2 气体流强的各种定义：

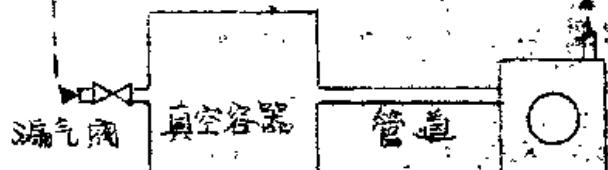


图 2.1 真空系统

——  $D_m$ ：为质量流量 = 单位时间通过截面的气体质量。

——  $N'$ ：为单位时间通过截面的真正气体分子数。

——  $V'$ ：体积流量 = 单位时间通过一截面的气体体积，此体积是在该截面正压下测得的。

——  $Q$ ：它为一定量空气下（若忽略空气的压缩或减压）之体积流量。

假设  $2.1$  的系统处于平衡（即随时间没有压强变化）且在均匀温度之下。这样既不会在一表面上气体的贮存也不会使气体减少（即不会有压强改变）。在这些条件下流量  $D_m$ ,  $N'$  和  $Q$  为各自与时间及截面无关的常数。反之  $V'$  与上述两个截面有关。

在下面真善技术讨论中应用最简单的方法是单位压缩气体流量的定义。

这样，我们用公式  $Q = PV'$  ————— (2.1) 来表示单位压缩气体流量。

其中  $P$  是气路一截面上的压强， $V'$  是在压强  $P$  单位时间通过此截面的气体体积。这也就是乘了比例系数  $\rho$  的质量流量，这样便化为所用单位压强  $P$ 。

与其定义的一些关系是很容易的：

$$D_m = Q \cdot \rho = PV' \cdot \rho$$

其中  $\rho$  是单位压强下在实验温度的气体比质量。

另一方面依据状态方程式有：

$$PV' = RN'T$$

这样， $Q = RN'T$

值得注意的是：对给定温度而言之流量，流量  $D_m$  和  $N'$  与温度无关，而  $V'$  和  $Q$  之值正比于  $T$ 。

对应用的重要性应是：

1. 在各种不同的物理过程中，某些物理量与流量成正比，流量。

—— lusec (即微米·升/秒 或毫毛·升/秒) 流量。

压强下每秒 1 升的气体流量 ( $CH_4$  一立方米) 是常用的单位，其中 lusec 也叫成微·升/秒)。

—— 立方厘米·大气压/秒，或称的大气压下流